

走行荷重による二層地盤の応答解析

東北大学 正・平井弘義
正柳次郎司

1 緒言

列車等の交通荷重が軟弱地盤上を通過する際、大きな変形が生じ走行上の安全性からも問題となっている。しかししながら、このような動的問題に対する理論的研究は数少ないのが現状と窺われる。

著者等はこの種の問題に対して研究を押し進めてきていたが¹⁾、今回二層地盤のモデル化として弹性床の弹性体と考える。その上をより一定速度で走行する荷重に対して弹性床の支持力係数、弹性体の弹性係数あるいは走行速度等によって弹性体の応答がどのように違うのか検討を行なう。

2. モデル化と解析手法

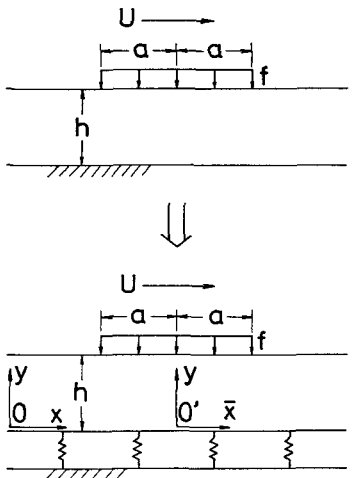


図1 二層地盤上の移動荷重とモデル化

図1に示されるような二層地盤について問題を解析する場合、境界条件が複雑により数値積分も難しいものとなる。そこで図1の下図に示されるように上下の層の境界にパスカネック型の弹性床を考えることによって境界条件を容易にすることができる。いま大きさ t 、長さ $2a$ の荷重が大きさ

U の走行速度で移動するものとする。地盤は平面ひずみ状態とし、荷重近傍は定常状態にあると仮定する。平面ひずみ状態において以下基礎式を示す。

1) 動位

$$\left. \begin{aligned} u &= \frac{\partial \phi}{\partial x} + \frac{\partial \psi}{\partial y} \\ v &= \frac{\partial \phi}{\partial y} - \frac{\partial \psi}{\partial x} \end{aligned} \right\} \quad (1)$$

ここに ϕ と ψ はそれぞれ位応位ポテンシャルである。

2) 波動方程式

$$\left. \begin{aligned} \nabla^2 \phi &= \frac{1}{C_1^2} \frac{\partial^2 \phi}{\partial t^2} \\ \nabla^2 \psi &= \frac{1}{C_2^2} \frac{\partial^2 \psi}{\partial t^2} \end{aligned} \right\} \quad (2)$$

ここで $\nabla^2 = \frac{\partial^2}{\partial x^2} + \frac{\partial^2}{\partial y^2}$, $C_1 = C_2 \sqrt{\frac{2(1-\nu)}{1-2\nu}}$, $C_2 = \sqrt{\frac{G}{\rho}}$
 G はせん断弾性係数、 ν はボアソン比、 ρ は密度である。

3) 応力

$$\left. \begin{aligned} \sigma_x &= \frac{2G}{1-2\nu} \left\{ (1-\nu) \frac{\partial u}{\partial x} + \nu \frac{\partial v}{\partial y} \right\} \\ \sigma_y &= \frac{2G}{1-2\nu} \left\{ (1-\nu) \frac{\partial v}{\partial y} + \nu \frac{\partial u}{\partial x} \right\} \\ \tau_{xy} &= G \left(\frac{\partial v}{\partial x} + \frac{\partial u}{\partial y} \right) \end{aligned} \right\} \quad (3)$$

4) 境界条件

$$y = 0 \text{ は } \sigma_{yy} = 0$$

$$\tau_{xy} = 0 \quad (4)$$

$$\sigma_y = k v \quad (5)$$

$$y = h \text{ は } \sigma_{yy} = 0$$

$$\tau_{xy} = 0 \quad (6)$$

$$\sigma_y = \begin{cases} -f & ; |x-Ut| < a \\ 0 & , |x-Ut| > a \end{cases} \quad (7)$$

Ⅱ.2 複素フーリエ変換

$$\hat{F}(z, y) = \int_{-\infty}^{\infty} F(\bar{x}, y) e^{-iz\bar{x}} d\bar{x} \quad (8)$$

$$F(\bar{x}, y) = \frac{1}{2\pi} \int_{-\infty}^{\infty} \hat{F}(z, y) e^{iz\bar{x}} dz \quad (9)$$

を用いると式(2)の一般解は次のようになる。

$$\hat{\phi} = A \cosh p z y + B \sinh p z y \quad (10)$$

$$\hat{\psi} = C \cosh q z y + D \sinh q z y \quad (11)$$

ここで A, B, C 及び D は未定係数, $p^2 = 1 - \left(\frac{U}{C_1}\right)^2$, $q^2 = 1 - \left(\frac{U}{C_2}\right)^2$ である。また式(4)～(7)の境界条件は次のようになる。

$$\begin{cases} 0 & 2\eta p & 1+q^2 \\ \frac{(1-v)p^2-v}{1-2v}y & -\frac{Kp}{1-v} & \frac{Ki}{1-v} \\ 2ip \cosh p y & 2ip \sinh p y & (1+q^2) \cosh q y \\ \{(1-v)p^2-v\} \cosh p y & \{(1-v)p^2-v\} \sinh p y & (2v-1)i q \sinh q y \end{cases}$$

$$\begin{bmatrix} 0 \\ -iqy \\ (1+q^2)\sinh qy \\ (2v-1)iq \cosh qy \end{bmatrix} \cdot \begin{bmatrix} A \\ B \\ C \\ D \end{bmatrix} = \begin{bmatrix} 0 \\ 0 \\ 0 \\ T \end{bmatrix} \quad (12)$$

ここで $\zeta = h\beta$, $K = \frac{(1-v)h}{2G}k$, $T = \frac{1-2v}{2G} \frac{h^3}{\zeta^2} f \cdot (e^{-i\epsilon\zeta} - e^{i\epsilon\zeta})$, $\epsilon = \frac{a}{h}$ である。従って式(12)を解くとフーリエ逆変換を行なうことで問題は解決されたことになる。

3 数値計算と考察

示すように $v=0.4$, $K=0.001, 0.01, 0.1$ の場合について図2: 無次元走行速度 $\beta = \frac{U}{C_1}$

と複数との関係が示されている。この図2より K の増大と共に共振点（極小値）に相当する β の値は大きくなっていることがわかる。すなはち上層の乗客船に比べて下層の剛性が大きいほど共振時の速度 β が大きくなる。図3は $K=0.1$ の場合について $y=0.5h$ における垂直変位 U を示したものである。 β の増加とともに荷重速度の増加と共に変位量は増大する傾向を示し、 $\beta=0.74$ において理論上に共振現象を生ずることになる。

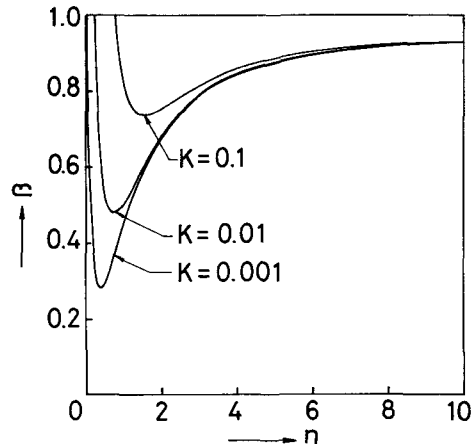


図2 無次元走行速度 β と複数との関係

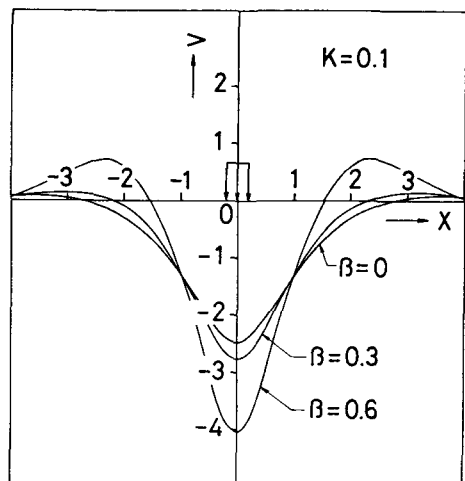


図3 $y=0.5h$ における垂直変位 U

参考文献

- 平井、柳沢：東北支部技術研究発表会講演概要、土学会東北支部、pp.193-194, 1982.